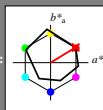


Ein und Ausgabe: Farbmetrisches Drucker-Reflexiv-System ORS20_95, L*=20_95 für relativen CIELAB-Buntton $h^* = lab^*h^* = h_{ab}/360 = 0.087$ $u^*_d = o00y$
Daten für jede Farbe:
 lab^*ich^* und lab^*icu^*
Bunttontexte:
 $u^*_d = o00y$ $u^*_e = r00j$
Konstanzreduzierungsfaktor:
 $c_R = 1.0$
Dreiecks-Helligkeit t^*



ORS20_95a; adaptierte CIELAB-Daten					
u^*_d	$L^*=L^*_a$	a^*_a	b^*_a	C^*_{aba}	h^*_{aba}
O _{Ma}	46.89	66.19	40.28	77.48	31
Y _{Ma}	88.66	-9.62	88.21	88.73	96
L _{Ma}	54.22	-65.29	33.87	73.56	153
C _{Ma}	61.43	-30.53	-42.04	51.96	234
V _{Ma}	25.93	25.95	-47.37	54.01	299
M _{Ma}	47.92	73.53	-9.02	74.08	353
O _{Ma}	20.41	0.0	0.0	0.0	0
N _{Ma}	94.64	0.0	0.0	0.0	0
O _{Ma}	39.92	58.74	27.99	65.07	25
Y _{Ma}	81.26	-2.89	71.56	71.62	92
L _{Ma}	52.23	-42.42	13.6	44.55	162
V _{Ma}	30.57	1.41	-46.47	46.49	272

Daten für Maximalfarbe (Ma):

LAB^*LAB^*Ma : 47 66 40

LAB^*LCH^*Ma : 47 77 31

lab^*olv^*Ma : 1.0 0.0 0.0

lab^*rgb^*Ma : 1.0 0.09 0.0

Dreiecks-Helligkeit t^*

%Umfang
 $u^*_{rel} = 87$
%Regularität
 $g^*_{H,rel} = 67$
 $g^*_{C,rel} = 59$

ORS20_95a; adaptierte CIELAB-Daten					
u^*_d	$L^*=L^*_a$	a^*_a	b^*_a	C^*_{aba}	h^*_{aba}
$o00y$	46.89	66.19	40.28	77.48	31
$o25y$	57.13	47.6	52.04	70.52	48
$o50y$	66.36	30.85	62.62	69.81	64
$o75y$	76.18	13.03	73.89	75.03	80
$y00l$	88.66	-9.62	88.21	88.73	96
$y25l$	78.19	-26.54	71.69	76.45	110
$y50l$	69.83	-40.06	58.5	70.9	124
$y75l$	62.17	-52.44	46.41	70.03	138
$l00c$	54.22	-65.29	33.87	73.56	153
$l50c$	58.45	-44.92	-10.62	46.16	193
$c00v$	61.43	-30.53	-42.04	51.96	234
$c50v$	44.02	-2.84	-44.65	44.74	266
$v00m$	25.93	25.95	-47.37	54.01	299
$v50m$	35.2	46.01	-31.2	55.59	326
$m00o$	47.92	73.53	-9.02	74.08	353
$m50o$	47.42	69.94	15.08	71.55	12

